

Н. И. ГУРЬЕВ

К РАСЧЕТУ ТОНКОСТЕННЫХ КОНСТРУКЦИЙ МЕТОДОМ  
ДИСКРЕТНЫХ НЕИЗВЕСТНЫХ

Рассматриваются тонкостенные подкрепленные конструкции с работающей обшивкой и абсолютно жестким поперечным набором. Напряженное состояние ищется в виде суммы статически определяемого (основного) и статически неопределимого (дополнительного) напряженных состояний. В силу линейности рассматриваемой задачи определение основных и дополнительных (самоуравновешенных) усилий является независимым, и, следовательно, полные усилия могут быть получены суммированием основных и дополнительных усилий.

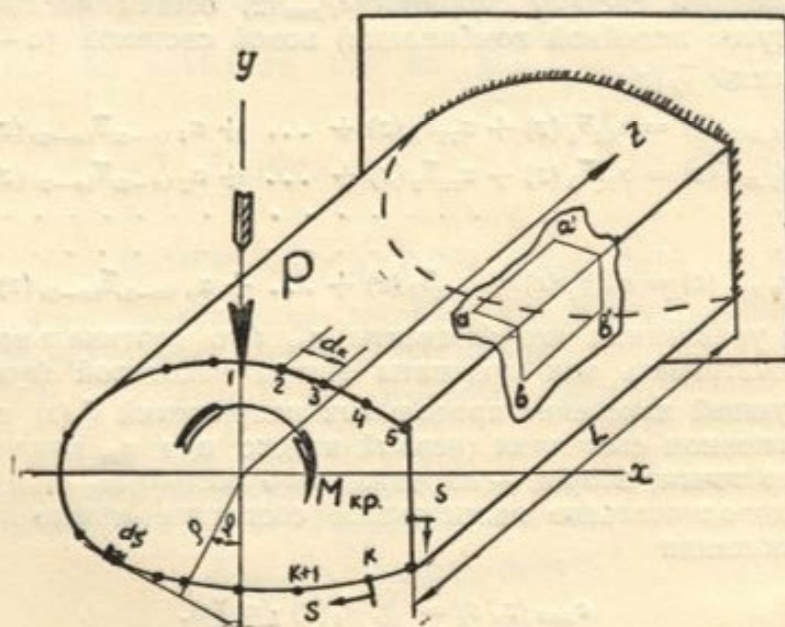


Рис. 1.

Исследование дополнительного напряженного состояния ведется по схеме вариационной задачи. Поперечное сечение оболочки (в общем случае произвольной формы) разбивается на ряд характерных участков, одинаковой или различной ширины  $d_k$ . В пределах каждого из них изменение продольных нормальных напряжений по дуге контура поперечного сечения принимается линейным:

$$\sigma_1(z) + \Delta\sigma_1(z) \frac{s}{d_k}, \quad \sigma_2(z) + \Delta\sigma_2(z) \frac{s}{d_k} \text{ и т. д.}, \quad (1)$$

где  $\Delta\sigma_i(z) = \sigma_{i+1}(z) - \sigma_i(z)$ .

Дополнительные напряжения  $\sigma_{1 \text{ доп}}(z)$ ,  $\sigma_{2 \text{ доп}}(z)$ , ...,  $\sigma_{n \text{ доп}}(z)$  в намеченных точках используются в качестве варьируемых параметров (рис. 1).

В поперечном сечении продольные усилия в дополнительном напряженном состоянии должны удовлетворять условиям самоуравновешенности:

$$\oint \sigma_{\text{доп}}(z, s) \cdot \delta \cdot ds = 0,$$

$$\oint \sigma_{\text{доп}}(z, s) \cdot \delta \cdot y \cdot ds = 0,$$

$$\oint \sigma_{\text{доп}}(z, s) \cdot \delta \cdot x \cdot ds = 0, \tag{2}$$

где  $\delta = \delta_0 + \frac{\sum F_{\text{стр}}}{U}$  — приведенная толщина обшивки (в случае неподкрепленных оболочек  $\delta = \delta_0$ ),

$\delta_0$  — истинная толщина обшивки, принимаемая постоянной в пределах каждого участка,

$F_{\text{стр}}$  — площадь стрингера,

$U$  — периметр поперечного сечения.

С помощью условий (2) три дискретных значения  $\sigma_{i \text{ доп}}(z)$  выражаются через все остальные, играющие роль лишних независимых неизвестных функций. Отсюда следует, что в общем случае нагружения тонкостенной оболочки — растяжение (сжатие) и изгиб в вертикальной и горизонтальной плоскостях — при делении контура на  $n$  участков дополнительное напряженное состояние будет определяться  $(n-3)$  независимыми функциями.

В дальнейшем систему функций  $\sigma_{i \text{ доп}}(z)$  общим числом  $n$  удобно заменить (путем линейной комбинации) новой системой  $(n-3)$  независимых функций  $\bar{\sigma}_i(z)$ :

$$\sigma_{1 \text{ доп}}(z) = \alpha_{11}\bar{\sigma}_1(z) + \alpha_{12}\bar{\sigma}_2(z) + \dots + \alpha_{1(n-3)}\bar{\sigma}_{(n-3)}(z),$$

$$\sigma_{2 \text{ доп}}(z) = \alpha_{21}\bar{\sigma}_1(z) + \alpha_{22}\bar{\sigma}_2(z) + \dots + \alpha_{2(n-3)}\bar{\sigma}_{(n-3)}(z),$$

$$\dots$$

$$\sigma_{n \text{ доп}}(z) = \alpha_{n1}\bar{\sigma}_1(z) + \alpha_{n2}\bar{\sigma}_2(z) + \dots + \alpha_{n(n-3)}\bar{\sigma}_{(n-3)}(z). \tag{3}$$

В этих уравнениях коэффициенты  $\alpha_{ki}$   $i$ -го вертикального столбца можно рассматривать как ординаты эпюры некоторой функции  $\varphi_i(s)$ , характеризующей изменение продольных напряжений  $\bar{\sigma}_i(z)$  по контуру в  $i$ -м напряженном состоянии (первый индекс при  $\alpha_{ki}$  означает порядковый номер точки, второй — напряженного состояния).

Тогда дополнительное напряженное состояние можно представить в виде разложения

$$\sigma_{\text{доп}}(z, s) = \sum_{i=1}^{n-3} \bar{\sigma}_i(z) \cdot \varphi_i(s), \tag{4}$$

т. е. искомое дополнительное напряженное состояние получается в результате суммирования конечного числа статически неопределимых напряженных состояний. Функции  $\varphi_i(s)$  представляют по своему смыслу обобщенные ординаты продольных напряжений.

Каждая из них удовлетворяет условиям непрерывности продольных напряжений по контуру поперечного сечения, а на отдельных участках контура будет представляться линейной зависимостью от координаты  $s$ .

С привлечением функций  $\varphi_i(s)$  вместо условий (2) имеем:

$$\oint \varphi_i(s) \cdot \delta \cdot ds = 0,$$

$$\oint \varphi_i(s) \cdot \delta \cdot y \cdot ds = 0,$$

$$\oint \varphi_i(s) \cdot \delta \cdot x \cdot ds = 0. \tag{5}$$

Эти условия дают возможность определить три коэффициента каждого  $i$ -го столбца выражения (3), например  $\alpha_{ni}$ ,  $\alpha_{(n-1)i}$ ,  $\alpha_{(n-2)i}$  посредством других —  $\alpha_{1i}$ ,  $\alpha_{2i}$ , ...,  $\alpha_{(n-3)i}$ .

Касательные усилия, сопутствующие дополнительным нормальным напряжениям, определяются по условиям равновесия элемента оболочки ( $a - a' - b' - b$ ) (рис. 2):

$$q_{\text{доп}}(z, s) = \int_0^s \frac{\partial \sigma_{\text{доп}}(z, s)}{\partial z} \cdot \delta \cdot ds + q_a, \quad (6)$$

или

$$q_{\text{доп}}(z, s) = \sum_{i=1}^{n-3} \bar{\sigma}'_i(z) \psi_i(s), \quad (7)$$

где

$$\frac{d\psi_i}{ds} = \varphi_i(s), \quad (8)$$

$\psi_i(s)$  — функции, характеризующие распределение касательных усилий по контуру поперечного сечения. Они получаются путем непосредственного интегрирования функций  $\varphi_i(s)$ .

Напишем выражение (8) для участка, который расположен между точками  $k$  и  $k+1$ . Все величины, относящиеся к этому участку, отметим индексом  $k$ .

Принимая во внимание, что на участке  $k, k+1$

$$\varphi_{ki}(s) = \alpha_{ki} + \Delta\alpha_{ki} \frac{s}{d_k},$$

имеем:

$$\psi_{ki}(s) = F_k \left( \alpha_{ki} \frac{s}{d_k} + \Delta\alpha_{ki} \frac{s^2}{2 \cdot d_k} + \alpha_{ki}^{\Sigma} \right), \quad (9)$$

где  $\alpha_{ki}^{\Sigma} \cdot F_k$  представляет собою значение касательного усилия в точке  $k$ , соответствующей началу отсчета, при  $\bar{\sigma}'_i = 1$ ,

$$F_k = \delta \cdot d_k \text{ — площадь участка,}$$

$$\Delta\alpha_{ki} = \alpha_{(k+1)i} - \alpha_{ki}.$$

В любом поперечном сечении оболочки дополнительные касательные усилия должны быть также самоуравновешены:

$$\begin{aligned} \oint q_{\text{доп}}(z, s) \cdot \sin \varphi \cdot ds &= 0, \\ \oint q_{\text{доп}}(z, s) \cdot \cos \varphi \cdot ds &= 0, \\ \oint q_{\text{доп}}(z, s) \cdot \rho \cdot ds &= 0, \end{aligned} \quad (10)$$

(обозначения  $\rho$  и  $\varphi$  показаны на рис. 1).

Нетрудно видеть, что условия (10) выполняются тождественно в связи с выполнением условий (5).

Всю совокупность  $(n-3)$  линейно независимых функций  $\varphi_i(s)$  и  $\psi_i(s)$  подчиним условиям ортогональности:

$$\begin{aligned} A_{ij} &= \oint \varphi_i(s) \cdot \varphi_j(s) \cdot \delta \cdot ds = 0, \\ B_{ij} &= \oint \psi_i(s) \cdot \psi_j(s) \cdot \frac{1}{\delta} \cdot ds = 0, \end{aligned} \quad (11)$$

при  $i \neq j$  ( $i, j = 1, 2, \dots, n-3$ ). Отсюда определяются коэффициенты  $\alpha_{ki}$  с точностью до произвольного множителя. Поэтому при расчетах

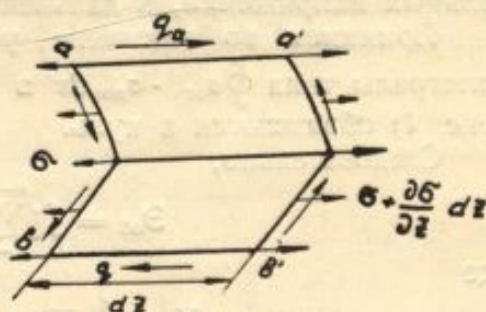


Рис. 2.

коэффициенты  $\alpha_{ki}$ , например, первой строки выражения (3), можно принять равными единице.

Следуя вариационному принципу Кастильяно, функции  $\bar{\sigma}_i(z)$  определим из минимума потенциальной энергии оболочки.

$$\begin{aligned} \mathcal{D}_{00} &= \int_L \oint \frac{(\sigma_{осн} + \sigma_{дон})^2 \cdot \delta \cdot ds}{2E} dz + \int_L \oint \frac{(q_{осн} + q_{дон})^2 ds}{2G\delta_0} dz = \\ &= \int_L \left\{ \sum_{i=1}^{n-3} \left[ \left( \frac{1}{2E} \oint \varphi_i^2(s) \cdot \delta \cdot ds \right) \cdot \bar{\sigma}_i^2(z) + \left( \frac{1}{2G} \oint \psi_i^2(s) \cdot \frac{1}{\delta_0} ds \right) \cdot \bar{\sigma}_i'^2(z) + \right. \right. \\ &\quad \left. \left. + \left( \frac{1}{G} \oint q_{осн}(z, s) \cdot \psi_i(s) \cdot \frac{1}{\delta_0} ds \right) \cdot \bar{\sigma}_i'(z) \right] + C \right\} dz, \end{aligned} \quad (12)$$

где  $\sigma_{осн}$ ,  $q_{осн}$  — усилия, определяемые по элементарной теории тонкостенных стержней,

$C = \oint \frac{\sigma_{осн}^2 \cdot \delta \cdot ds}{2E} + \oint \frac{q_{осн}^2 \cdot ds}{2G\delta_0}$  — величины, не зависящие от дополнительных напряжений, в дальнейшем их будем опускать.

Принимая во внимание условия (10), нетрудно показать, что интегралы типа  $\oint \sigma_{осн} \cdot \sigma_{дон} ds$  в рассматриваемых случаях нагружения (рис. 1) обращаются в нуль.

Следовательно,

$$\mathcal{D}_{00} = \int_L \left[ \sum_{i=1}^{n-3} V_i(z, \bar{\sigma}_i, \bar{\sigma}_i') \right] dz,$$

где

$$V_i = \frac{A_i}{2E} \bar{\sigma}_i^2(z) + \frac{B_i}{2G} \bar{\sigma}_i'^2(z) + \frac{B_{pi}}{G} \bar{\sigma}_i'(z), \quad (13)$$

$$A_i = \oint \varphi_i^2(s) \cdot \delta \cdot ds,$$

$$B_i = \oint \psi_i^2(s) \cdot \frac{1}{\delta_0} ds, \quad (14)$$

$$B_{pi} = \oint q_{осн}(z, s) \psi_i(s) \cdot \frac{1}{\delta_0} \cdot ds, \quad (i = 1, 2, \dots, n-3).$$

Используя систему уравнений Эйлера для вариационной задачи от нескольких независимых переменных, получим в итоге систему независимых однородных уравнений второго порядка:

$$\frac{B_i}{G} \bar{\sigma}_i''(z) - \frac{A_i}{E} \bar{\sigma}_i(z) = 0, \quad (i = 1, 2, \dots, n-3); \quad (15)$$

их общий интеграл

$$\bar{\sigma}_i(z) = C_{1i} e^{\beta_i z} + C_{2i} e^{-\beta_i z}, \quad (16)$$

где

$$\beta_i^2 = \frac{G}{E} \frac{A_i}{B_i}, \quad (i = 1, 2, \dots, n-3). \quad (17)$$

Постоянные интегрирования  $C_{1i}$  и  $C_{2i}$  определяются из граничных условий системы в каждом конкретном случае ее нагружения и характера опорных креплений.

Для системы, представленной на рис. 1, граничные условия запишутся так:

а) на свободном конце ( $z = 0$ )

$$\bar{\sigma}_1(0) = \bar{\sigma}_2(0) = \dots = \bar{\sigma}_{n-3}(0) = 0,$$

следовательно,  $C_{1i} = -C_{2i}$ ;

б) для сечения в заделке ( $z = L$ ) воспользуемся естественными граничными условиями вариационной задачи, которые при абсолютно жесткой опоре имеют вид

$$\left[ \frac{\partial V_i}{\partial \bar{\sigma}_i(z)} \right]_{z=L} = 0, \quad (18)$$

откуда находим

$$C_{1i} = -C_{2i} = -\frac{B_{pi}}{2B_i} \cdot \frac{1}{\beta_i \operatorname{ch} \beta_i L}.$$

Общее решение (16) будет

$$\bar{\sigma}_i(z) = -\frac{B_{pi}}{B_i} \cdot \frac{\operatorname{sh} \beta_i z}{\beta_i \operatorname{ch} \beta_i L}, \quad (i = 1, 2, \dots, n-3). \quad (19)$$

Суммарные дополнительные напряжения в точках 1, 2, ... вычисляются по формулам (3).

Определение дополнительных нормальных напряжений может считаться законченным, если будут определены самоуравновешенные ортогональные функции  $\varphi_i(s)$  и  $\psi_i(s)$ . Их вычисление требует подбора коэффициентов  $\alpha_{ki}$  в соответствии с условиями (5) и (11).

Таблица

Номер точки $K$	Число участков по ширине пластины									
	$m-2$	$m-4$		$m-6$			$m-8$			
	$\varphi_1$	$\varphi_1$	$\varphi_2$	$\varphi_1$	$\varphi_2$	$\varphi_3$	$\varphi_1$	$\varphi_2$	$\varphi_3$	$\varphi_4$
1	1	1	1	1	1	1	1	1	1	1
2	-1	0	-1	$\frac{1}{2}$	$-\frac{1}{2}$	-1	$\frac{1}{2}$	0	$-\frac{1}{2}$	-1
3		-1	1	$-\frac{1}{2}$	$-\frac{1}{2}$	1	0	-1	0	1
4				-1	1	-1	$-\frac{1}{2}$	0	$\frac{1}{2}$	-1
5							-1	1	-1	1
$a_i$	1	1	1	$\frac{5}{4}$	$\frac{3}{4}$	1	1	1	$\frac{1}{2}$	1
$b_i$	1	1	$\frac{1}{4}$	$\frac{91}{72}$	$\frac{13}{72}$	$\frac{1}{9}$	1	$\frac{1}{4}$	$\frac{5}{64}$	$\frac{1}{16}$
$\bar{\beta}_i$	1	1	2	0,995	2,04	3	1	2	2,53	4

В таблице приведены значения  $\alpha_{ki}$  для пластины, загруженной на конце самоуравновешенной нагрузкой, симметричной относительно оси  $oz$  (рис. 3), в зависимости от числа  $m$  участков, на которые разбивается ширина пластины (точки берутся с равным шагом).

Вся совокупность коэффициентов для каждого значения  $m = 2, 4, 6, 8$  представлена в виде столбца:

$$\begin{array}{cccc} \alpha_{11} & \alpha_{12} & \dots & \alpha_{1(n-1)} \\ \alpha_{21} & \alpha_{22} & \dots & \alpha_{2(n-1)} \\ & & \dots & \dots \\ \alpha_{n1} & \alpha_{n2} & \dots & \alpha_{n(n-1)} \end{array}$$

Коэффициенты первой строки приняты равными единице. В конце каждого столбца приведены значения

$$A = \oint \varphi_i^2(s) \cdot \sigma \cdot ds = \frac{2}{3} \frac{B \cdot \delta}{m} \sum_{k=1}^{n-1} (\alpha_{ki}^2 + \alpha_{ki} \alpha_{(k+1)i} + \alpha_{(k+1)i}^2) = \frac{B \cdot \delta}{3} a_i$$

$$B_i = \frac{1}{\delta_0} \oint \psi_i^2(s) ds = \frac{2}{60} \frac{B^2 \delta_0^2}{m^2 \delta_0} \cdot \sum_{k=1}^{n-1} [(8\alpha_{ki}^2 + 9\alpha_{ki} \alpha_{(k+1)i} + 3\alpha_{(k+1)i}^2) + 20\alpha_{ki}^3 (2\alpha_{ki} + \alpha_{(k+1)i} + 3\alpha_{ki}^2)] = \frac{B^2 \delta_0^2}{120 \delta_0} \cdot b_i$$

$$\beta_i = \frac{2}{B} \sqrt{10 \frac{G}{E} \cdot \frac{\delta}{\delta_0}} \times \sqrt{\frac{a_i}{b_i}} = \frac{2}{B} \sqrt{10 \frac{G}{E} \cdot \frac{\delta}{\delta_0}} \times \bar{\beta}_i$$

где  $\alpha_{ki}^3 = \frac{1}{2} \sum_{p=1}^{k-1} (\alpha_{pi} + \alpha_{(p+1)i})$ ,  $(i = 1, 2, \dots, n-1)$ ,

$B$  — ширина пластины,

$\delta$  — приведенная толщина пластины.

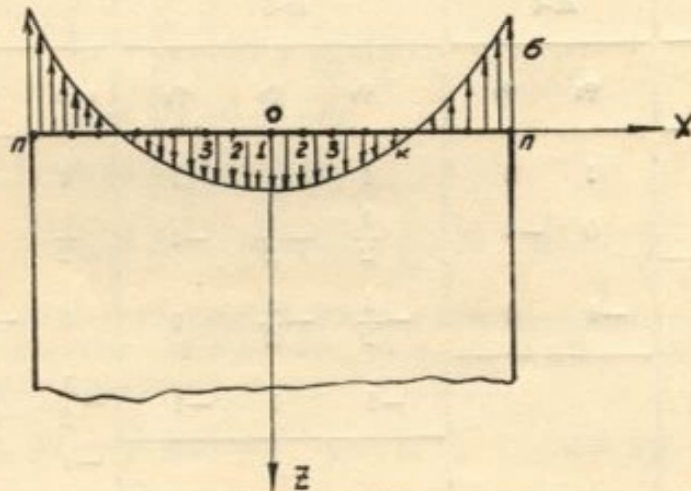


Рис. 3.

Значения этой таблицы могут быть использованы непосредственно при решении других задач, например, при изгибе кессона, цилиндрической оболочки и т. п.

*Пример 1.* Рассмотрим изгиб прямоугольного кессона (рис. 4), решение которого приведено в работе [2] (стр. 170), сохраняя принятые в ней допущения.

Верхнюю и нижнюю полки делим на 6 равных участков (вертикальные стенки лонжеронов считаются работающими только на сдвиг). Эпюры  $\sigma_{\text{доп}}$ ,  $q_{\text{доп}}$  показаны на рис. 4. В рассматриваемом случае дополнительное напряженное состояние представится в виде разложений:

$$\sigma_{\text{доп}} = \bar{\sigma}_1(z) \cdot \varphi_1(s) + \bar{\sigma}_2(z) \varphi_2(s) + \bar{\sigma}_3(z) \varphi_3(s),$$

$$q_{\text{доп}} = \bar{\sigma}'_1(z) \psi_1(s) + \bar{\sigma}'_2(z) \psi_2(s) + \bar{\sigma}'_3(z) \psi_3(s),$$

где  $\varphi_i(s)$  и  $\psi_i(s)$  — взаимно ортогональные функции, отвечающие условиям (5) и (11). Значения коэффициентов этих функций приведены в таблице для  $m = 6$ .

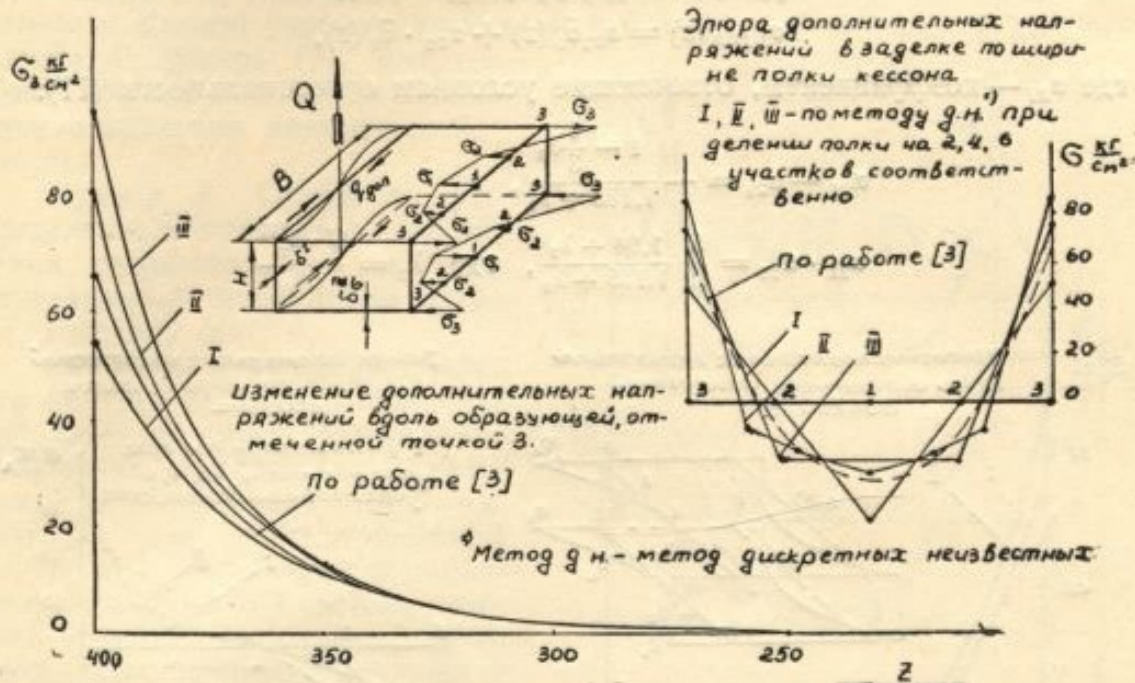


Рис. 4.

Значения коэффициентов  $B_{pi}$  определяются по формуле

$$B_{pi} = \frac{1}{b_0} \int q_{осн} \psi_i(s) ds = \frac{B^{2b}}{216H \cdot b_0} Q \sum_{k=1}^3 \{ [8(k-1) + s] \alpha_{ki} + [4(k-1) + 3] \alpha_{(k+1)i} + 12 [2(k-1) + 1] \alpha_{ki}^3 \};$$

отсюда для  $i = 1, 2, 3$  найдем

$$B_{p1} = 10b, \quad B_{p2} = 2b, \quad B_{p3} = b.$$

где  $b = \frac{1}{216} \frac{B^{2b}}{H b_0}$ .

По формулам (3), (19) и данным таблицы найдем суммарные дополнительные напряжения в любой точке  $K$ :

$$\sigma_{k \text{ доп}}(z) = - \frac{Q}{H \cdot B \cdot b_0^{111}} \sum_{i=1}^3 F_i(i) \frac{\alpha_{hi}}{\beta_i} \frac{\text{sh } \beta_i z}{\text{ch } \beta_i L}, \quad (22)$$

где  $F_i(i) = 0,014(-53i^2 + 223i - 10)$ .

На рис. 4 представлена эпюра дополнительных напряжений в заделке по результатам (22). Здесь же приведены эпюры дополнительных напряжений, отвечающие делению полок на два, четыре участка соответственно.

Результаты данного метода сравниваются с результатами метода сил.

Для рассматриваемого кессона были определены дополнительные напряжения от сосредоточенного крутящего момента  $M_{кр}$ , приложенного к торцевому сечению. Верхняя и нижняя полки делились на четыре равных участка (рис. 5).

Дополнительные напряжения в точках 2, 3 подсчитывались по формулам:

$$\begin{aligned}\sigma_{2 \text{ доп}}(z) &= \alpha_{21} \bar{\sigma}_1(z) + \alpha_{22} \cdot \bar{\sigma}_2(z), \\ \sigma_{3 \text{ доп}}(z) &= \alpha_{31} \bar{\sigma}_1(z) + \alpha_{32} \cdot \bar{\sigma}_2(z),\end{aligned}$$

где  $\alpha_{ki}$  — коэффициенты, отвечающие условиям ортогональности (11):

$$\alpha_{22} - \alpha_{21} = -\frac{1 - \frac{1}{3}\lambda_2}{1,115 + \lambda_2},$$

$$\alpha_{21} \cdot \alpha_{22} = \frac{5}{12} \frac{1,94 + \lambda_2}{1,115 + \lambda_2}, \quad \text{где } \lambda_2 = \frac{H \cdot \delta_\tau^{III}}{B \delta_1}$$

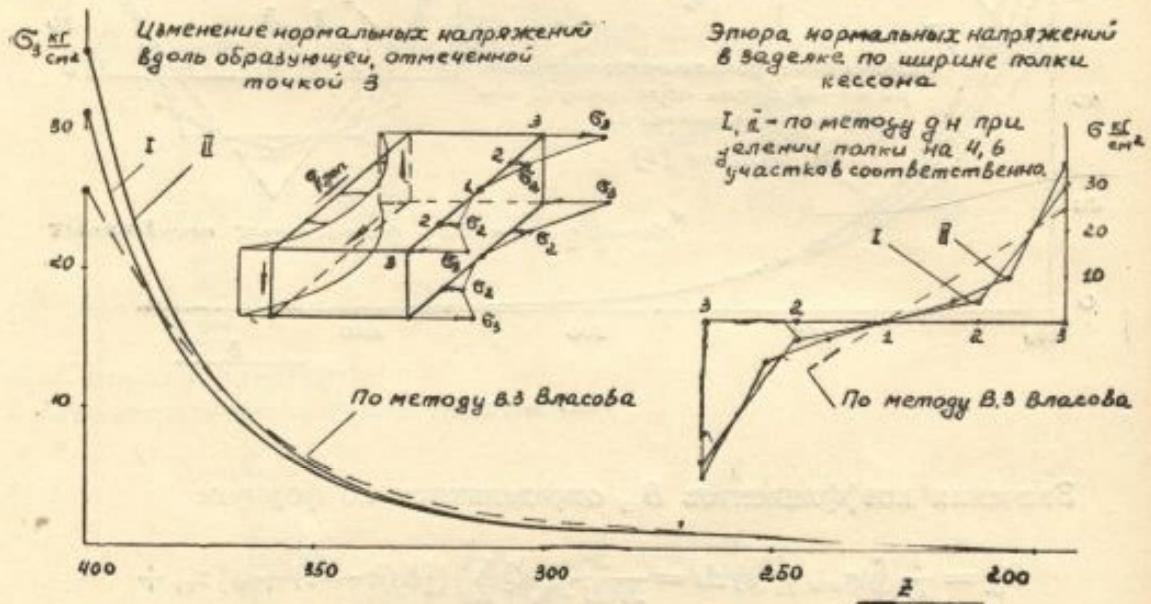


Рис. 5.

( $\alpha_{31}$  и  $\alpha_{32}$  приняты равными единице).

$$\bar{\sigma}_i(z) = -\frac{B_{pi}}{B_i} \cdot \frac{\text{sh } \beta_i z}{\beta_i \text{ch } \beta_i L}, \quad (23)$$

причем

$$B_{pi} = \frac{M_{кр}}{96} \frac{\delta_\sigma^{III}}{\delta_1} \left(1 - \frac{1}{\lambda_2}\right) (6\alpha_{2i} + 5),$$

$$B_i = \frac{1}{7680} \cdot \frac{B^2 \delta_\sigma^{III}}{G \delta_\tau^{III}} \left[ (188 + \lambda_2) \alpha_{2i}^2 + (172 + 100\lambda_2) \alpha_{2i} + \left(59 + \frac{125}{3} \lambda_2\right) \right],$$

$$A_i = \frac{B \delta_\sigma^{III}}{3} (2\alpha_{2i}^2 + \alpha_{2i} + 1), \quad \beta_i^2 = \frac{G}{E} \cdot \frac{A_i}{B_i}, \quad (i = 1, 2).$$

На рис. 5 представлены результаты подсчетов дополнительных напряжений в заделке при делении полок на два, четыре и шесть равных участков соответственно. Если полки делить на два участка, то результаты данного метода будут полностью совпадать с решением [2] (стр. 165) при  $Q = 0$ , поскольку оно соответствует допущению о линейном распределении нормальных напряжений по ширине полки, принятой в работе [2].

На рис. 6 пунктирной линией нанесены результаты по вариационному методу В. З. Власова [1] (стр. 185). Как видно из рис. 5, обычно



принимаемый линейный закон изменения нормальных напряжений по ширине полки для сечений вблизи заделки может привести к заметным погрешностям.

Результаты подсчетов по данному методу при делении полок на четыре и больше участков находятся в полном соответствии с результатами Г. Эбнера [3], полученными при строгой постановке задачи о кручении прямоугольного кессона.

**Пример 2.** Определим распределение напряжений  $\sigma_z$  от действия сосредоточенной силы  $P$ , передаваемой посредством ушка на пластину (рис. 6).

Гипотеза о недеформируемости контура поперечного сечения для плоской панели равносильна допущению об отсутствии удлинений в направлении оси  $x-x$ . Поэтому для рассматриваемого случая при составлении функционала потенциальной системы энергией нормальных напряжений по площадкам, перпендикулярным к оси  $x-x$ , можно пренебречь.

Искомые напряжения  $\sigma_z$  в намеченных точках 1, 2, ..., 5 получены в виде следующих выражений:

$$\sigma_{zk} = \sigma_0 (1 + F_k(z)),$$

( $k = 1, 2, \dots, 5$ ),

где

$$F_1(z) = \frac{1}{12} (-22e^{-\beta_1 z} + e^{-\beta_2 z} + 16e^{-\beta_3 z} - 7e^{-\beta_4 z}),$$

$$F_2(z) = \frac{1}{12} (-11e^{-\beta_1 z} - 8e^{-\beta_2 z} + 7e^{-\beta_3 z}),$$

$$F_3(z) = \frac{1}{12} (-e^{-\beta_1 z} - 7e^{-\beta_2 z}),$$

$$F_4(z) = \frac{1}{12} (11e^{-\beta_1 z} + 8e^{-\beta_2 z} + 7e^{-\beta_3 z}),$$

$$F_5(z) = \frac{1}{12} (22e^{-\beta_1 z} + e^{-\beta_2 z} - 16e^{-\beta_3 z} - 7e^{-\beta_4 z}).$$

Значения  $\beta_i$  приведены в таблице для  $m = 8$ .

Граничные условия в рассматриваемой задаче удовлетворяются как для пластины, имеющей достаточно большую длину. На рис. 6 представлены эпюры дополнительных нормальных напряжений в различных поперечных сечениях пластины. Здесь же показаны результаты эксперимента.

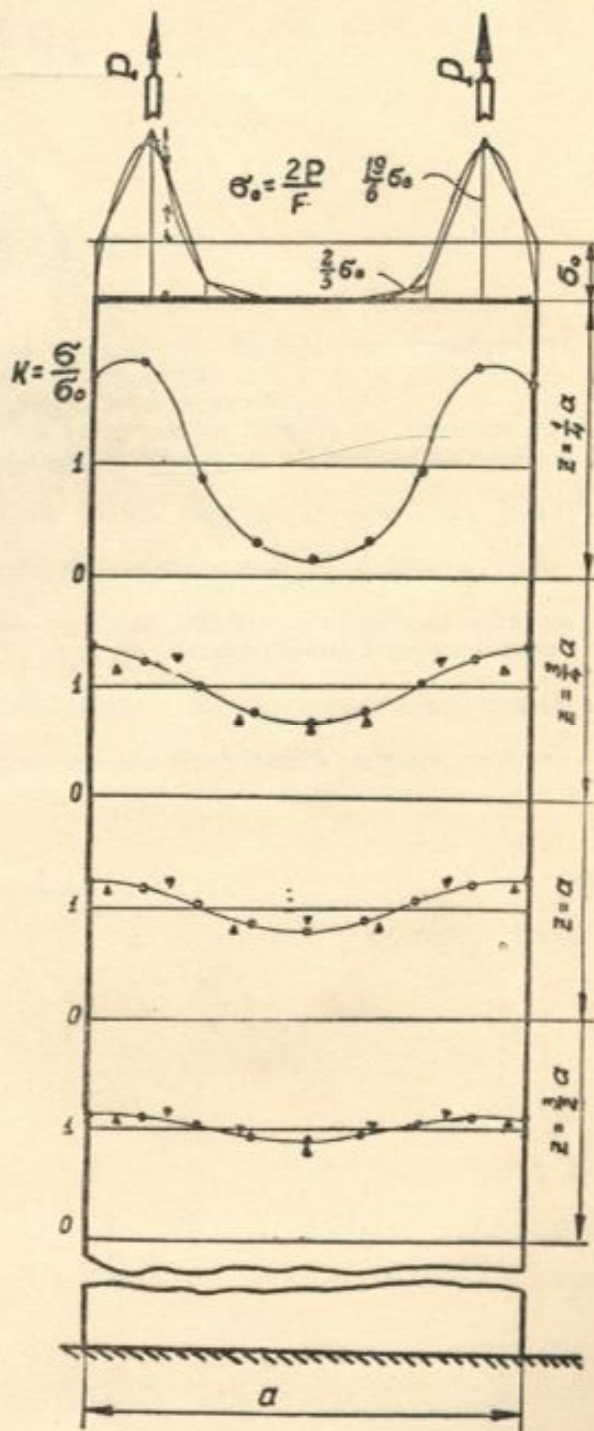


Рис. 6.

## ЛИТЕРАТУРА

1. В. З. Власов. Общая теория оболочек. ГТТИ, 1949.
2. А. Ф. Феофанов. Строительная механика тонкостенных конструкций. Оборонгиз, 1959.

193597

